

北海道開発局土木試験所 正員 井藤 昭夫

## 1. まえがき

本文はI型断面の桁の横倒れ拘束について横方向を棒(横構)により拘束された場合を検討したものである。

一般に桁の横倒れ強屈の計算にはフランジ固定点間として横桁や横構取付点間としているが、これら横桁や横構の断面性状や剛性を考慮に入れて横方向力を拘束するものとしている。

しかしこれら横方向力を拘束するものの断面性状などにより桁の横倒れ挫屈荷重の大きさが左右されるものと考えられる。ここでは横構の作用を考慮した単純支持の桁の横倒れ挫屈荷重を求める算式を誘導し、あわせて模型実験を行いその妥当性を検討したものである。

なお載荷方式としては桁の支間中央に集中載荷する場合について計算し、後にアクリル模型を使用して実験を行った。

## 2. 横倒れ挫屈荷重の計算.

計算の仮定として横構は支間中央に1本のみとする。横構は桁の横倒れ挫屈による横方向力によって降伏しない。かつ横構は主桁に対して対称に配置されているが主桁の横倒れ挫屈により一方は挫屈を起こす。即ち圧縮力には抵抗しないとした。また桁は等断面で上下フランジの中厚は等しいとして。

$$\text{そこで} \text{ 振屈波形を } \beta = a_1 \cos \frac{\pi x}{\ell} + a_2 \cos \frac{3\pi x}{\ell} + \dots \quad (1)$$

とし、近似計算としてオ1項のみを考慮した。

横倒れ挫屈の状態を図1に示した。

## 2-1. 主桁1本の場合(図2)

横荷重のなす仕事はボテンシャルエネルギーの減少 $\Gamma$ と歪エネルギー $\Delta$ 等しい。したがって、支間をし、支間中央から支間方向に立軸をとれば

$$T = \int_0^{\frac{l}{2}} (P\beta - X) \frac{d^2 u}{dz^2} \left( \frac{l}{2} - z \right) dz + \frac{Pa^2 h}{4} - h' Pa^2 \alpha + \frac{X^2 H}{2AE} \quad \dots \dots \quad (2)$$

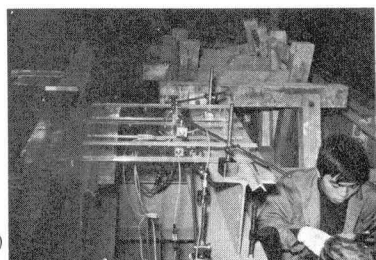
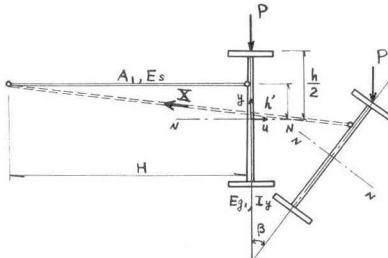
$$\nabla = E_g I_y \int_{\frac{L}{2}}^{\frac{L}{2}} \left( \frac{d^3 Y}{d Z^2} \right)^2 dZ + G_g J_T \int_{\frac{L}{2}}^{\frac{L}{2}} \left( \frac{d \beta_3}{d Z} \right)^2 dZ + E_g C_{bd} \int_{\frac{L}{2}}^{\frac{L}{2}} \left( \frac{d^2 \beta}{d Z^2} \right)^2 dZ \quad \dots \dots (3)$$

(2) 式でX,  $\alpha$ は仕事の式より

$$\bar{X} = \frac{P\alpha_1}{1 - \frac{48E_sI_4H}{AE_s\ell^3}} = P\alpha a_1, \quad \alpha = \frac{1}{1 + \frac{48E_sI_4H}{AE_s\ell^3}} \quad \dots(4)$$

$$\text{また } \frac{d^2U}{dZ^2} = \frac{P}{2E_0 I_0} (\beta - \alpha a_1) \left( \frac{l}{2} - Z \right) \dots \dots \dots \quad (5)$$

なお  $E_g T_y$ ,  $G_g J_T$ ,  $E_g C_{bd}$  はそれぞれ主桁(載荷桁)の曲げ, ネジり, 曲げネジり剛性であり  $A$ ,  $E_s$  は横構の断面積, 弾性係数である。



## 模型 実験

したがって(5)式を(2)式, (3)式に代入するとT, Vはそれぞれ次式となる。

$$T = \frac{P^2 \alpha^2}{2 E_g I_y} \left( \frac{1}{\pi} \right)^3 \left\{ \frac{\pi^3}{24} \alpha^2 - 2(\pi-2)\alpha + \frac{\pi^3}{48} + \frac{\pi}{8} \right\} + \frac{P \alpha h}{4} \left( 1 - \frac{4h\alpha}{\pi} \right) + \frac{P^2 \alpha^2 \alpha H}{2 A E_S} \quad \dots \dots \dots \quad (6)$$

$$V = \frac{P^2 a_i^2}{2 E_g I_0} \left(\frac{\ell}{\pi}\right)^3 \left\{ \frac{\pi^3}{48} x^4 - (\pi/2)\alpha + \left(\frac{\pi^3}{96} + \frac{\pi}{16}\right) \right\} + \frac{\pi}{4} G_B T_1 \left(\frac{\pi}{\ell}\right) a_i^2 + \frac{\pi}{4} E_g C_{bd} \left(\frac{\pi}{\ell}\right)^3 a_i^2. \quad (7)$$

故に  $T = V$  とすれば  $P$  に関する 2 次方程式となり、これを解けば横倒れ樋屈荷重  $P$  が求まる。

$$P = \frac{\pi^2}{\lambda^2} \sqrt{\frac{\pi}{2}} \sqrt{\frac{E_g I_{gJ_T} G_{gJ_T}}{F(\alpha)}} \sqrt{1 + \frac{E_g C_{bd} (\frac{\pi}{\lambda})^2}{G_{gJ_T}} \left( \sqrt{1 + \frac{\pi}{\theta} \left(\frac{h}{\lambda}\right)^2 \left(\frac{I_g}{J_T}\right) \frac{(1 - \frac{4h\alpha}{\lambda})^2}{F(\alpha) \left(\frac{G_g}{E_g} + \frac{I_g^2 C_{bd}}{\lambda^2 J_T}\right)}} - \sqrt{\frac{\pi}{\theta} \left(\frac{h}{\lambda}\right)^2 \left(\frac{I_g}{J_T}\right) \frac{(1 - \frac{4h\alpha}{\lambda})^2}{F(\alpha) \left(\frac{G_g}{E_g} + \frac{\pi^2}{\lambda^2} C_{bd}\right)}} \right)} \dots (8)$$

$$\therefore F(\alpha) = \frac{\pi^3}{48} \left(1 - \frac{E_s}{E_0}\right) \alpha^2 + \left(\frac{\pi^3}{48} \frac{E_s}{E_0} + 2 - \pi\right) \alpha + \frac{\pi}{16} \left(1 + \frac{\pi^2}{6}\right) \quad \text{である。}$$

## 2-2. 主桁3本の場合(図3)

この場合は  $\alpha$  のみが変わることだけである。

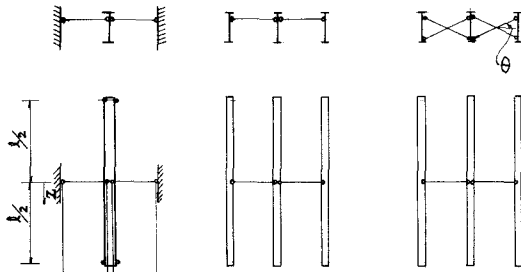
$$\alpha = \frac{1}{1 + \frac{I_{y_1}}{I_{y_2}} + \frac{48 E_g I_{y_1} H}{A E_s l^3}} \quad \dots \dots (9)$$

### 2-3. 主桁3本で横構が図4の場合

この場合には $X_1$ や $X_2$ のみが拘束力となる。

$X_1$ のみの場合には

$$\alpha = \frac{\sec \theta}{1 + \frac{I_{y2}}{I_{z2}} + \frac{48 E g I_{y2} H}{A E s l^3}} \dots \quad (10)$$



2  
case.1

図3  
case.2

☒ 4

### 3. 數值計算例と模型実験

数値計算は図2~4の様式について行い、同時にアクリル模型による実験を行った。各々の載荷桁の断面寸法は表に示して。なおPで( )内は実験値であるが、模型がアクリル製であるため伸びが少く挫屈と起こすと急激に破壊してしまうので、一応この時の破壊荷重を挫屈荷重とした。

\*10 case1～3で横構のない場合の横倒れ荷重は約27kg、曲げ破壊荷重は約260kgである。

表. 桁の断面寸法と横倒れ拘屈荷重

	$l$	H	h	$h'$	$E_g$	I <sub>xy</sub>	$G_g$	J <sub>T</sub>	$E_g$	C <sub>bd</sub>	$\alpha$	F( $\alpha$ )	P
	cm	cm	cm	cm				$\text{kg cm}^2$					
case 1.	50	30	5.211	0.865	$3 \times 10^4 \times 0.57752$	$1.09 \times 10^4 \times 0.07696$	$3 \times 10^4 \times 4.44231$	$0.99289$	$0.99289$	0.02273		$98.036\text{ (実)}$	
	(106)											(106)	計 1.081
• 2.	50	21	5.595	2.098	$3 \times 10^4 \times 0.67033$	$1.09 \times 10^4 \times 0.07834$	$3 \times 10^4 \times 4.65270$	0.49034	0.49034	0.11717		$64.18$	
												(73)	1.137
• 3.	50	22.2	5.625	2.400	$2.83 \times 10^4 \times 0.711994$	$7.02 \times 10^4 \times 0.08879$	$2.83 \times 10^4 \times 5.02334$	0.87027	0.87027	0.01610		$94.48$	
												(104)	1.101

#### 4. あとがき.

横構が支間中央に1本ある場合で支間中央に集中載荷する場合の横倒れ拘屈荷重を計算し、横構の作用を検討すると、上記の表のとおり拘屈荷重は横構の取付けにより大きく増加することがわかる。

(case1～3で横のみで横倒れ柱屈荷重は約27kgである)

したがって工型断面の桁の横倒れ性屈屈荷重は横方向力を拘束する構造の断面性状、取付方法などにより左右される。また屈屈波形  $\beta$  を(1)式でオ1項のみと仮定したが実験の結果では充分と考えられる。